

Organická elektronika & vrstvy funkčních molekul

Organická elektronik na trhu

Televisions and Displays (LG)



Solid-State White Lighting (Siemens)



Smartphones (Samsung)



Emerging Applications (Samsung)



Fyzikálně-chemický základ

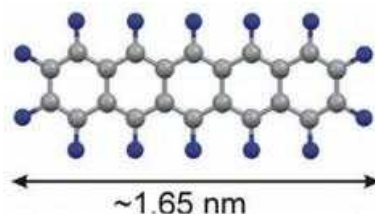
Organická polovodiče

Organické polovodiče - materiály

- typicky molekuly obsahující **π -konjugovaný systém elektronů**
- malé molekuly nebo polymery
- existují organické polovodiče **p-typu a n-typu**
- modifikace optických a elektrických vlastností lze dosáhnout míšením molekul a chemickou modifikací (např. fluorinací)

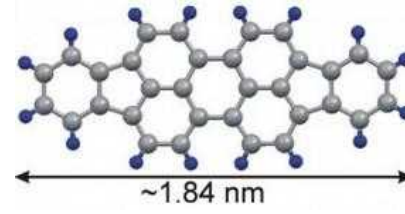
Příklady – malé molekuly

Pentacen



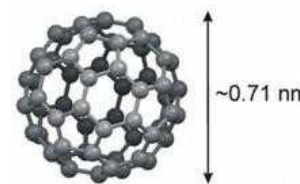
Polovodič typu p

Diindenoperylen



p-typ

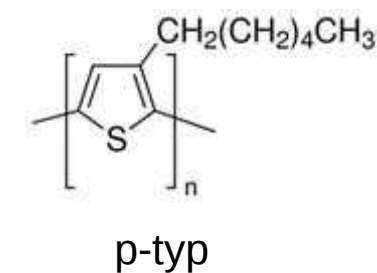
Buckminsterfulleren, C60



n-typ

Příklady – polymer

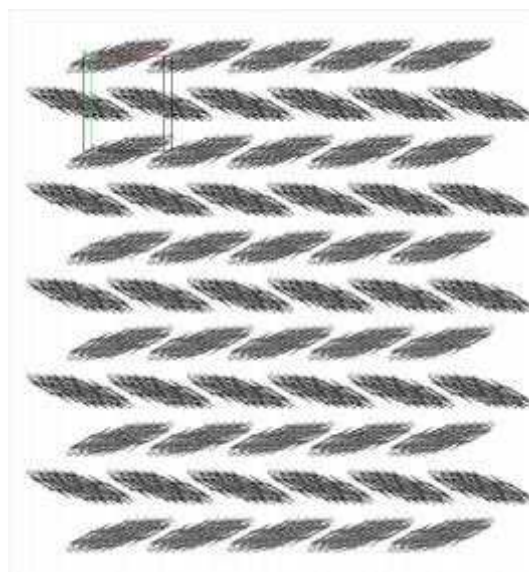
P3HT - Poly(3-hexylthiophene-2,5-diyl)



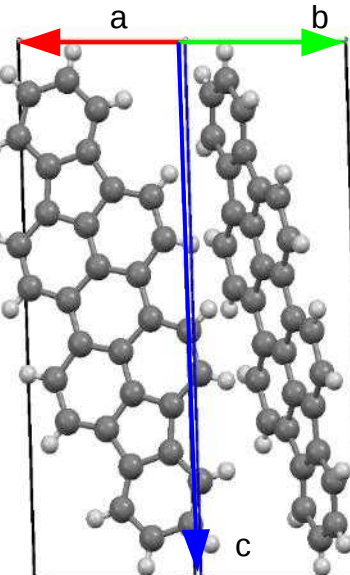
p-typ

Depozice tenkých vrstev: depozice molekulárním svazkem, spin-coating, tisk adaptovanou inkoustovou tiskárnou

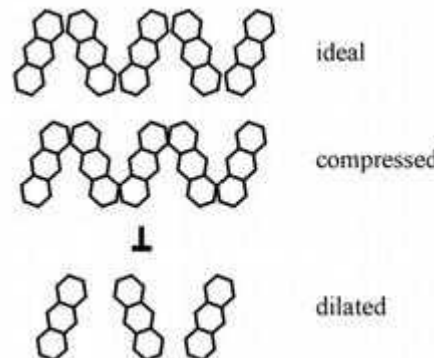
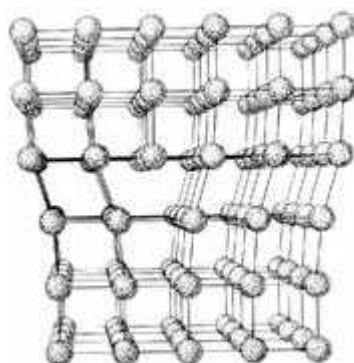
Uspořádání molekul OP



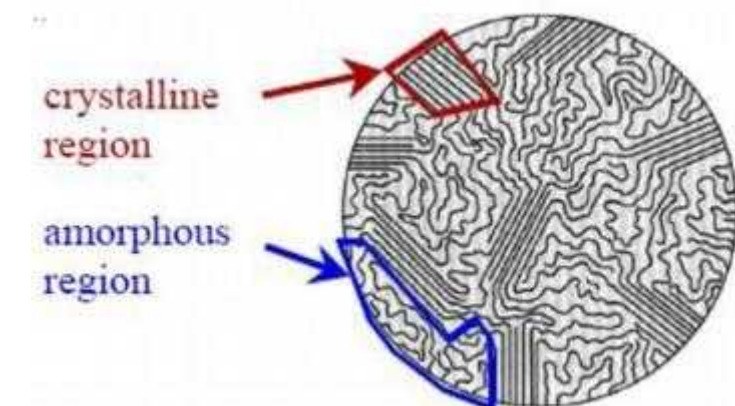
Jednotková buňka



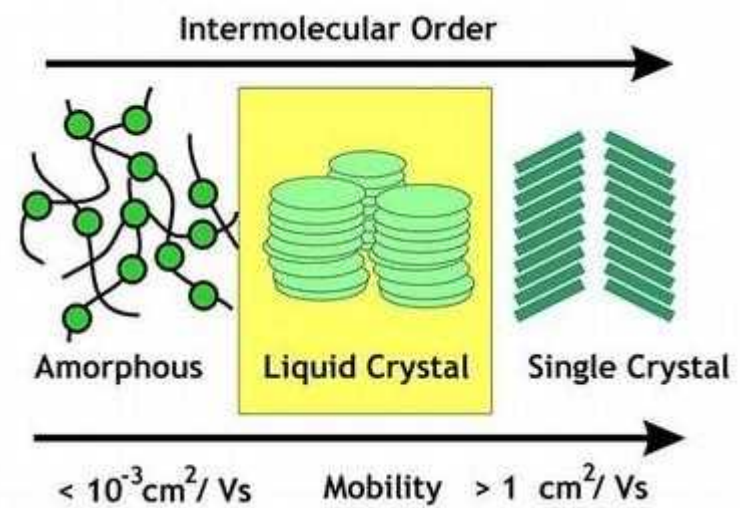
Uspořádání molekul DIP v krystalu
Herring-bone struktura – typická pro OP



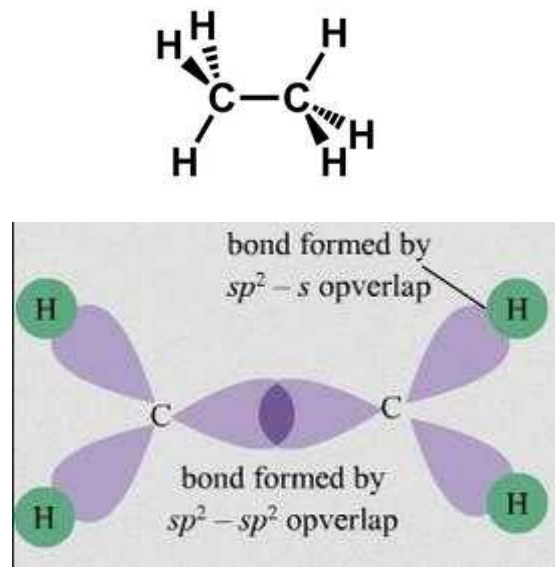
Poruchy v krystalové mříži - dislokace



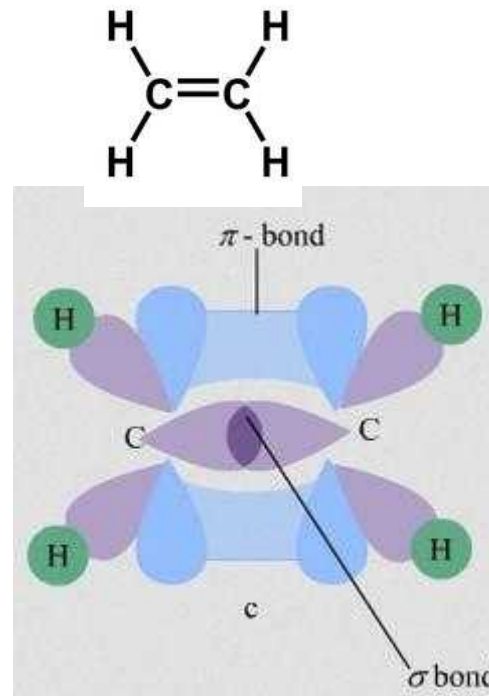
Polymery



Π vazba



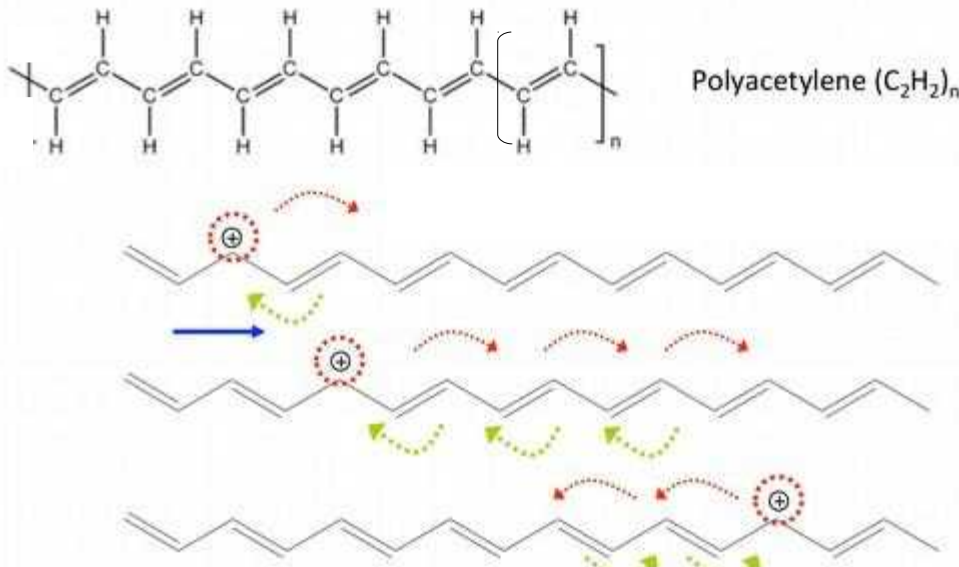
etan



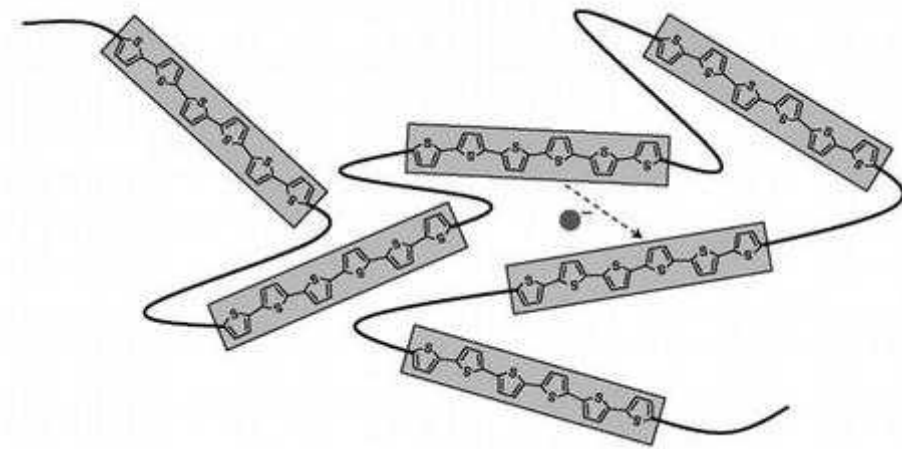
eten

- π vazba – překryv p_z orbitalů sousedních atomů
- p_z orbitaly jsou kolmé na osu C-C (σ vazbu)
- π vazba – delokalizovaná elektronová hustota nad a pod rovinou molekul
- π vazba je slabá ve srovnání se σ vazbou – vykazuje elektronovou excitační energie v řádech několika eV

Pohyb náboje v OP



Intramolekulární transport náboje

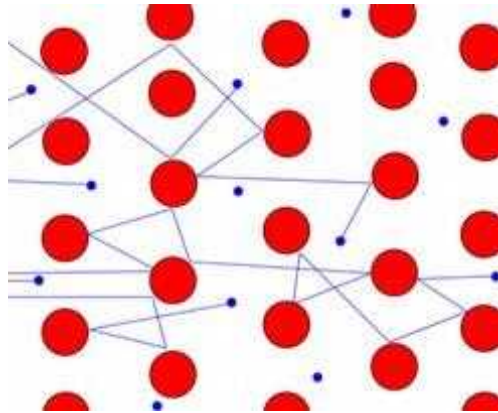


Intermolekulární transport náboje (hopping = přeskoky)

- Delokalizace náboje v molekule → nositelé náboje se snadno pohybují podél molekul a polymerů (pohyblivost až $600 \text{ cm}^2/\text{V}\cdot\text{s}$) a jsou na ně vázány
 - Mezi sousedními molekulami většinou neexistují vazby, působí mezi nimi jen van der Waalsovy síly
 - Mezi sousedními molekulami se pohybují nositelé přeskoky – vede k malé pohyblivosti → max. pohyblivost $1 - 10 \text{ cm}^2/\text{V}\cdot\text{s}$

Pohyblivost nosičů náboje

Pohyb náboje v anorganických polovodičích (Si, Ge, GaN) a kovech – Drudeho model



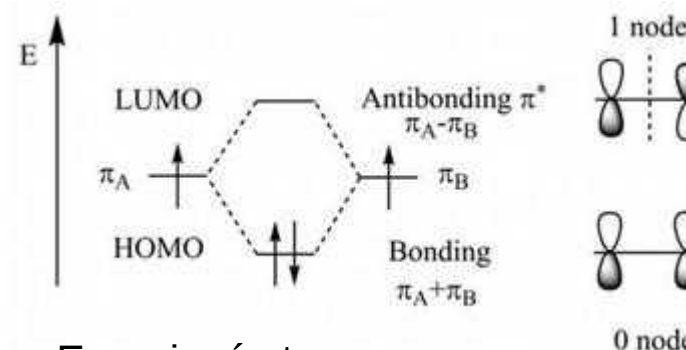
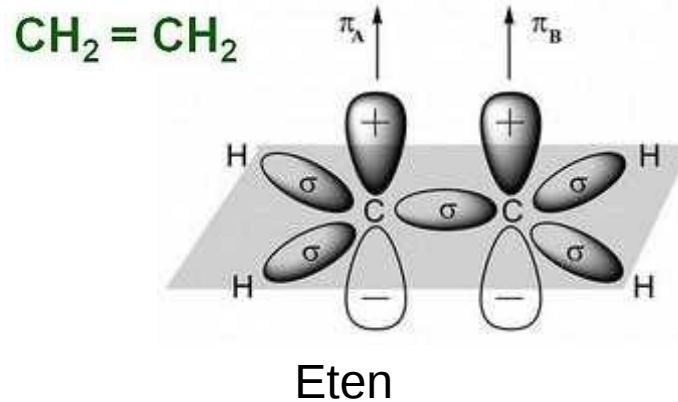
Nositelé náboje se volně pohybují mezi ionty na nichž se rozptylují / brzdí je

Srovnání pohyblivosti elektronů při pokojové teplotě:

Krystal Si	$\leq 1400 \text{ cm}^2 \cdot \text{V}^{-1} \cdot \text{s}^{-1}$
Ge	$\leq 3900 \text{ cm}^2 \cdot \text{V}^{-1} \cdot \text{s}^{-1}$
Organické polovodiče	$\leq 20 \text{ cm}^2 \cdot \text{V}^{-1} \cdot \text{s}^{-1}$
Amorfni Si	$\leq 0.05 \text{ cm}^2 \cdot \text{V}^{-1} \cdot \text{s}^{-1}$

- Pohyblivost nositelů náboje určuje rychlosť součástek (např. pracovní frekvenci procesorů)
- Vyšší uspořádanost (krystalinita) u organických polovodičů → vyšší pohyblivost nábojů

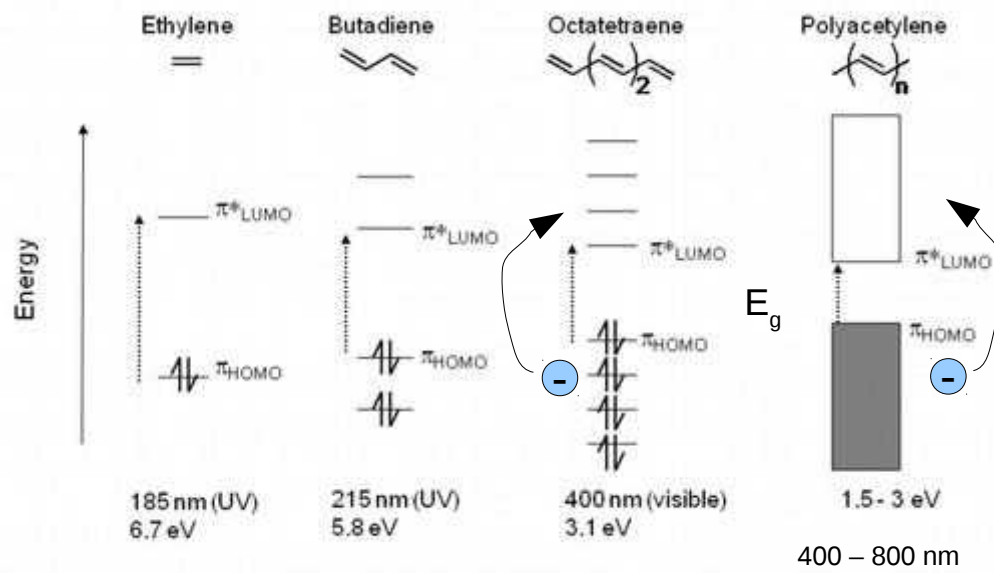
Energiové stavy v OP



Vyšší energiový stav znaménko vlnových funkcí opačné

Energiové stavy

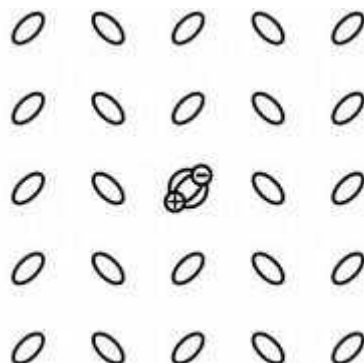
LUMO = nejnižší neobsazený molekulární orbital
HOMO = nejvyšší obsazený molekulární orbital



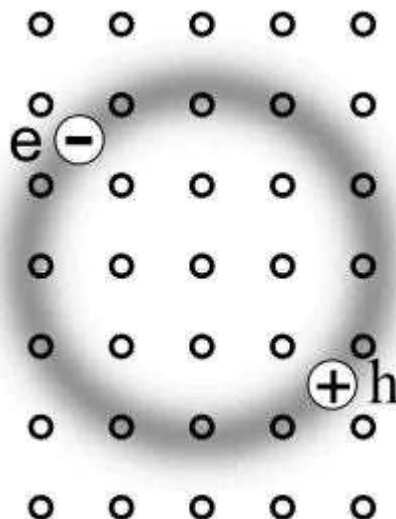
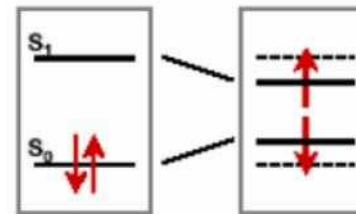
- S prodlužujícím se řetězcem polyenu se zvyšuje množství energiových stavů pod HOMO a nad LUMO
- V limitním $n \rightarrow \infty$ případě je energiový diagram podobný ED anorganických polovodičů
- Elektron může být fotonem excitován z valenčního do vodivostního pásu a zanechat za sebou díru
- Šířka zakázaného pásu E_g určuje barvu pohlcovaného světla

Exciton

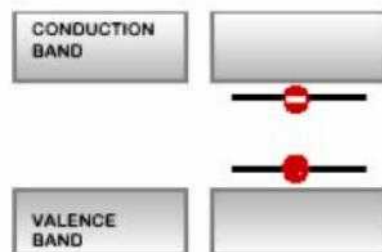
Exciton = korelovaný pár elektronu a díry



- Organické polovodiče
- Frenkelův exciton – lokalizovaný na jedné molekule
- Může se pohybovat mezi molekulami v této formě
- Typický poloměr 1 nm, vazebná energie 1 eV

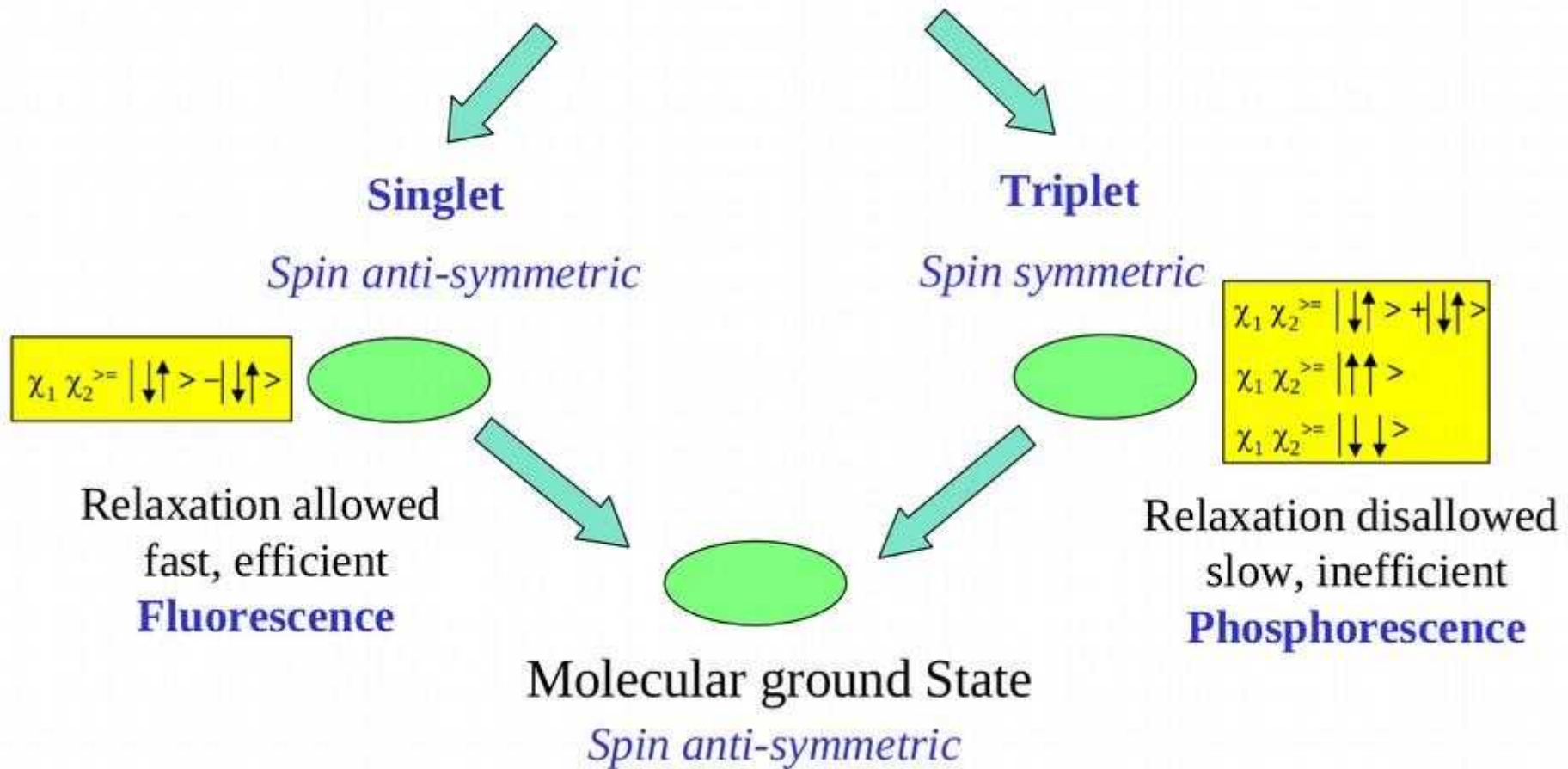


- Anorganické polovodiče
- Wanierův exciton
- Může se pohybovat skrz mřížku
- Typický poloměr 10 nm, vazebná energie 100 meV

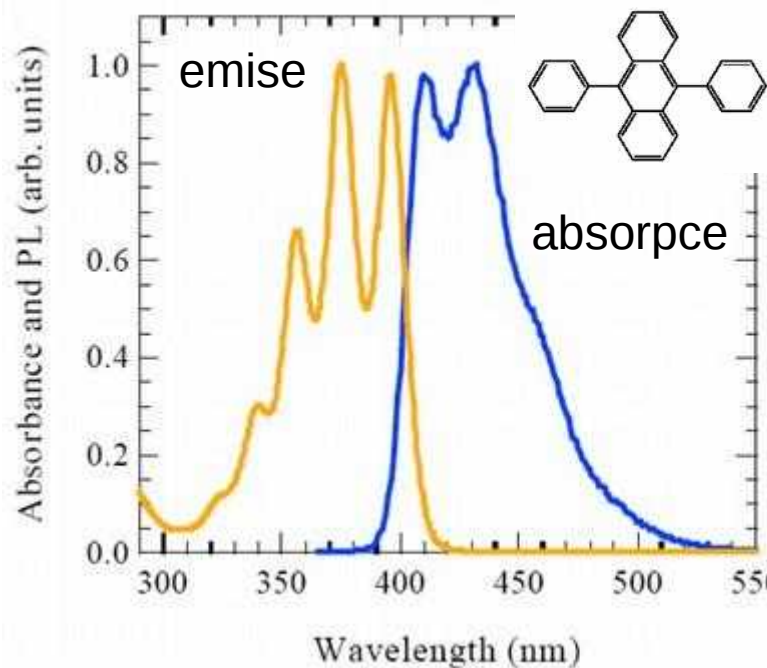


Relaxace excitonů

Molecular excited states after electrical excitation



OP – laditelnost optických vlastností



Absorbční a fotoluminiscenční spektrum molekuly DPA

Molecule	Absorption
Benzene	254 nm
Naphthalene	311 nm
Anthracene	375 nm
Tetracene	471 nm
Pentacene	582 nm
Pyrene	352 nm

- maximum absorpce a fotoluminiscence v blízké UV, viditelné až blízké infračervené oblasti → vhodné pro optoelektronické aplikace
- maximum absorpce se posouvá k delším vlnovým délkám s rostoucí délkou řetězce s π -konjugovaným systémem elektronů

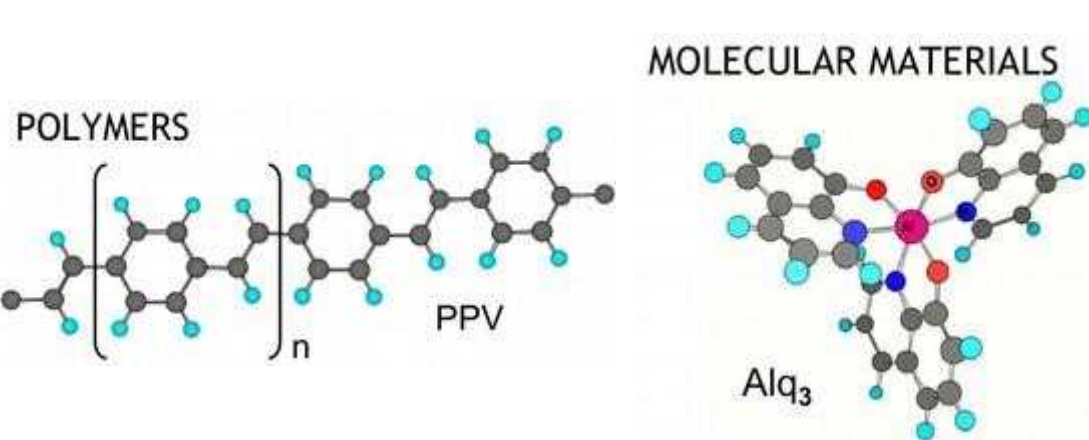
Přednosti a nevýhody OP



- Nízké náklady a flexibilita
- Produkce na velké plochy
- Jednoduchá chemická laditelnost vlastností
- Integrovatelnost s anorganickými materiály



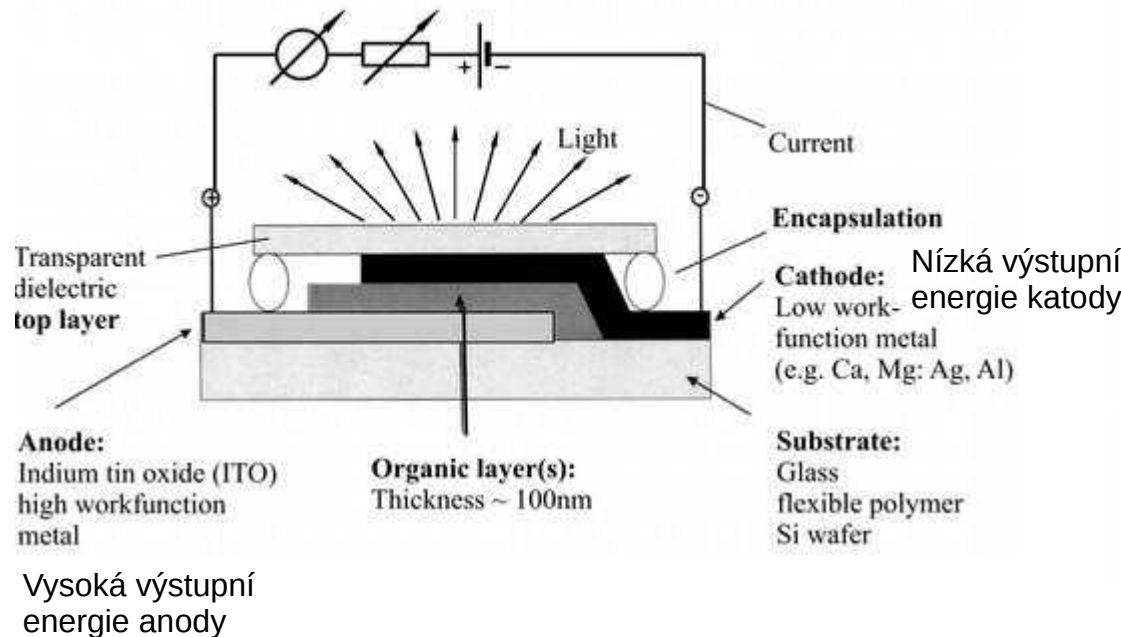
- Stabilita – degradace na vzduchu a ve vlhkosti
- Kontrola tloušťky u polymerů
- Malá pohyblivost nositelů náboje (pomalé)



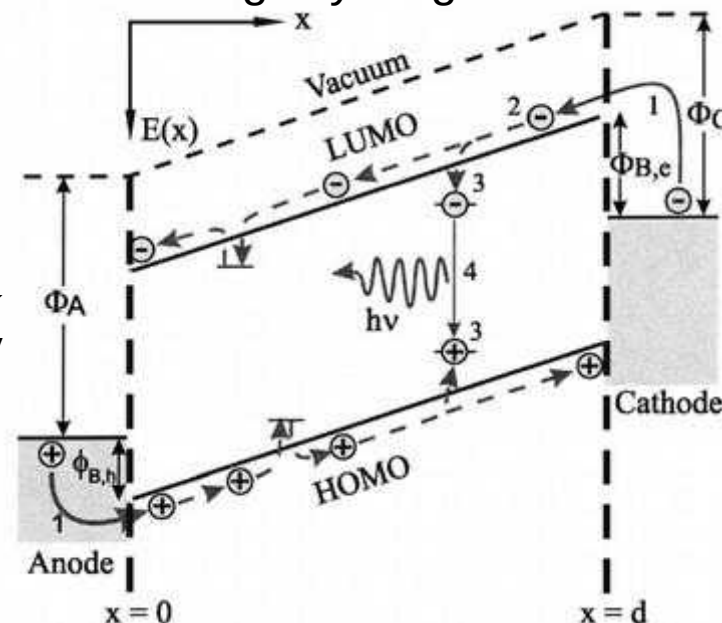
Aplikace – OLED (organické světelné diody)

Princip OLED

Schéma OLED



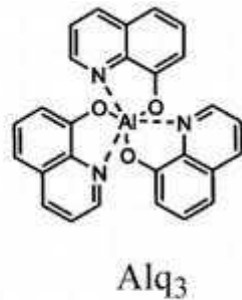
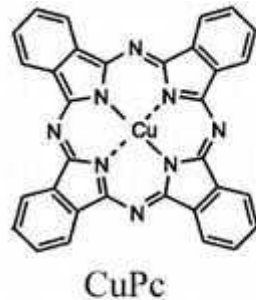
Energiový diagram OLED



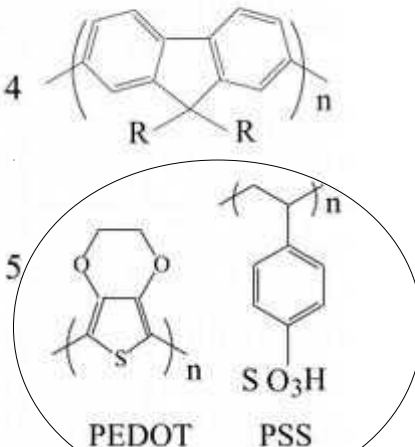
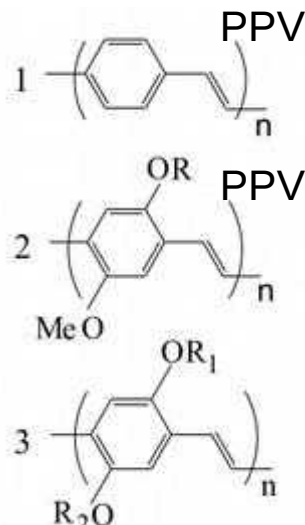
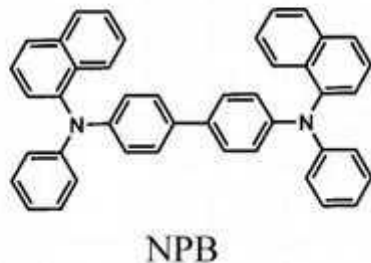
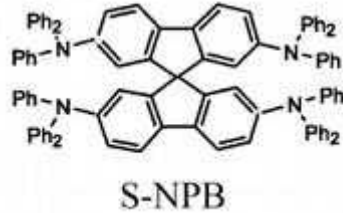
Procesy:

- 1) Elektrony a díry jsou injikovány z elektrod do organického polovodiče
Elektrony z katody → LUMO, Díry z anody → HOMO
- 2) Transport nosičů k protilehlým elektrodám (proud díky potenc. rozdílu na elektrodách)
- 3) Vytvoření vázaného páru elektron-díra při „setkání“ nositelů = Frankelův exciton
- 4) Rekombinace elektronu a díry za emise fotonu (luminiscence)

Často používané materiály OLED



Tris-(8-hydroxyquinoline)aluminum



Nízkomolekulární materiály - nanášeny napařováním

NPB = N,N'-Di(1-naphthyl)-N,N'-diphenyl-(1,1'-biphenyl)-4,4'-diamine

S-TAD = S,S dimethylsulfoxyimin-triazolinedion

PPV = polyphenylene vinylene

PEDOT:PSS = poly(3,4-ethylenedioxythiophene) + polystyrene sulfonate
směs polymerů

Monomery pro polymerní vrstvy
nanášeny spincoatingem a tiskem

PEDOT:PSS materiál pro anody – vodivý polymer

Efektivita OLED

Kvantová výtěžnost (efektivita) – počet emitovaných fotonů na počet injektorových nábojů
Zahrnuje vnitřní a vnější kvantovou výtěžnost

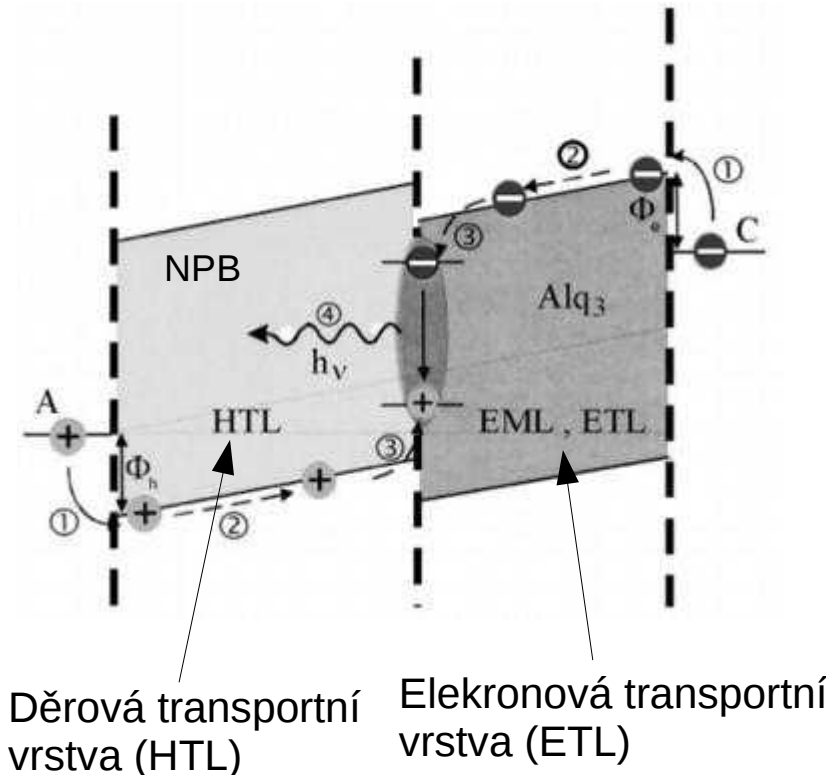
$$\eta_{ext} = \eta_r \phi_f \chi \eta_{out} = \eta_{int} \eta_{out}$$

- η_r Pravděpodobnost rekombinace elektronu a díry – poměr děr a elektronů,
které byly injektorových a transportovány až do rekombinační oblasti (přibližuje se 1)
- ϕ_f Fluorescenční kvantová efektivita (přibližuje se 1)
- χ Pravděpodobnost vzniku singletového excitonu (přibližuje se 25 %)
(tripletové excitony nemohou rekombinovat s vyzářením fotonu – zachování spin čísla)
- η_{out} Podíl fotonů vycházejících (unikajících) ze součástky (přibližuje se 20 %)

V klasických OLED systémech je externí kvantová výtěžnost ~4-5%

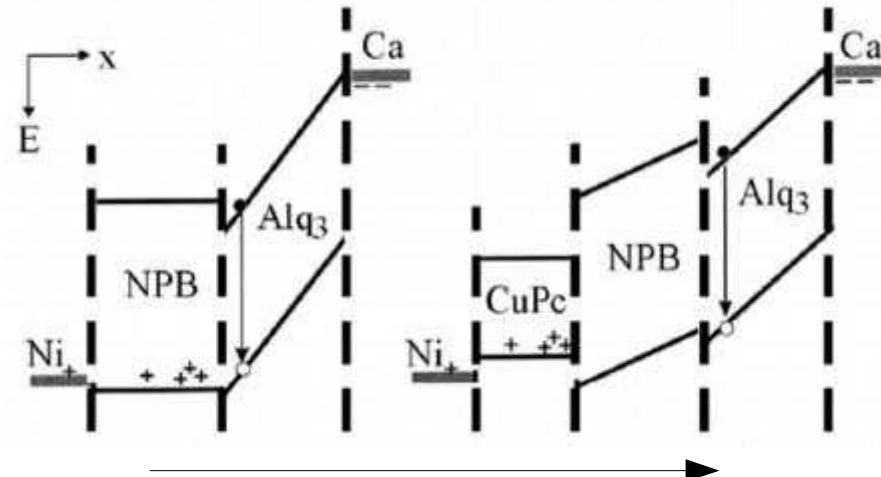
Zvyšování efektivity

Řešením je multivrstva organických polovodičů + přídavné anorganické vrstvy



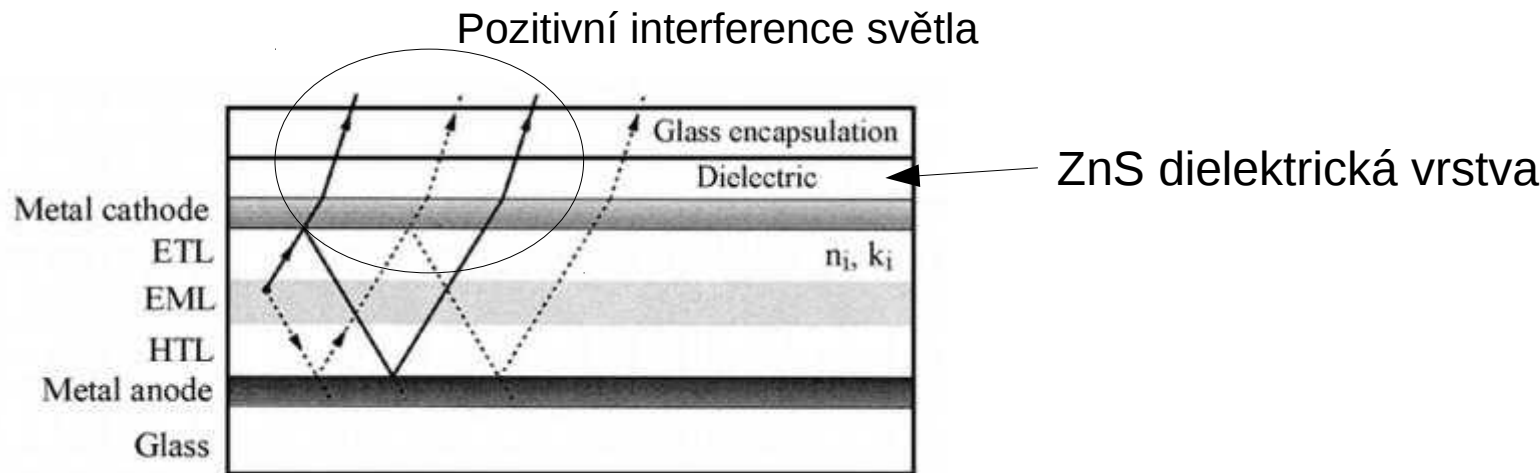
Efektivnější přenos příslušných nositelů n. Poměr el. a děr v rekombinační oblasti 1

$$\eta_r \rightarrow 1$$



Vrstva ftalocyaninu mědi (CuPc) optimalizuje rozložení el. pole a chrání Alq₃ před nadměrným množstvím děr, které by způsobovali degradaci Alq₃.

Zvyšování efektivity

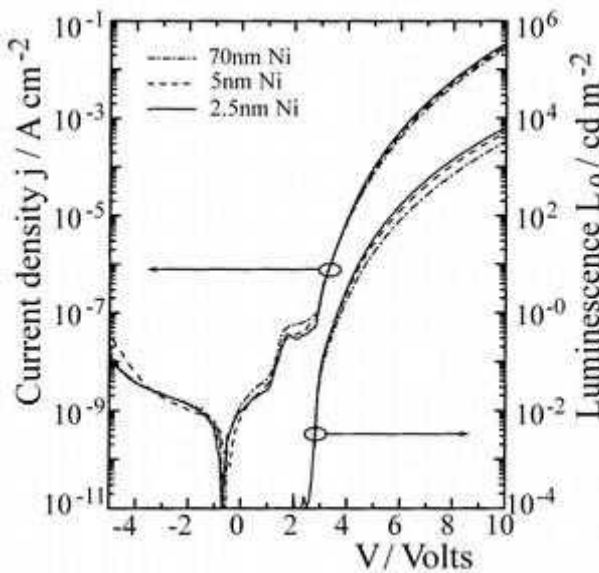


Přidání ZnS vrstvy nad Ca katodu + optimalizace tloušťky vrstvy

→ pozitivní interference přímo vyzařovaného světla a světla odraženého na anodě

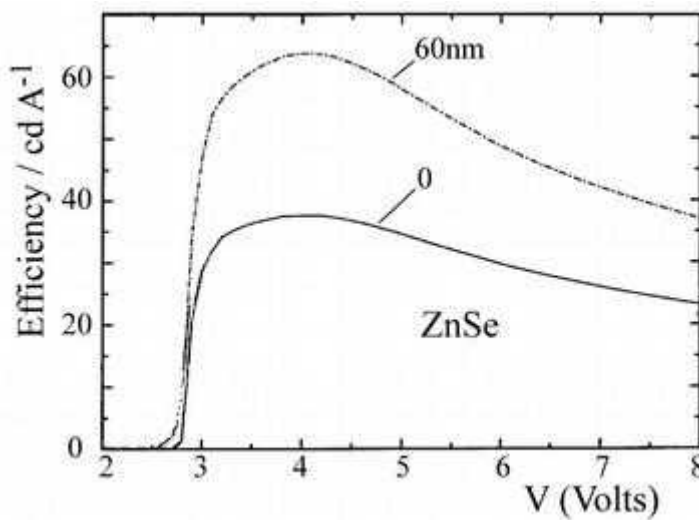
→ účinnější „vyvázání“ světla η_{out} a čistší barvy

Zvyšování efektivity



Optimalizace tloušťky Ni anody na Al substrátu

- takto zvýšení účinnosti 1.6
- při tloušťce Ni 2.5 nm je Ni průhledné a dochází k odrazu světla na Al substrátu s vysokou reflektivitou

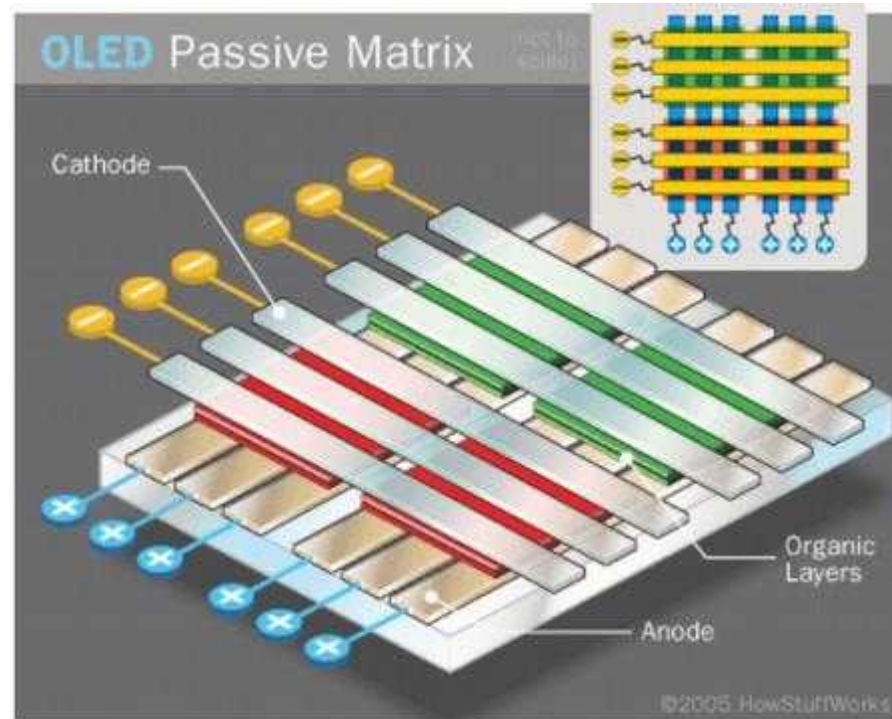


Přidání 60 nm tlusté antireflexní vrstvy ZnS

- zvýšení vnější kvantové výtěžnosti o další faktor 2

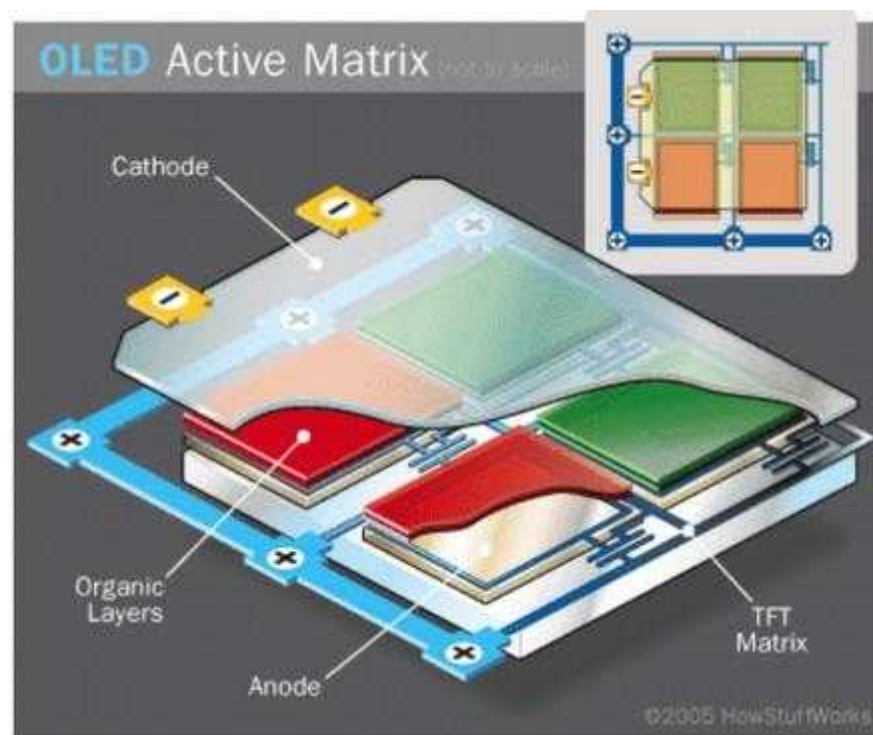
+ další optimalizace tloušťky vrstvy Alq3

OLED displeje



OLED

OLED displej s pasivní maticí elektrod adresujících pixely



AMOLED

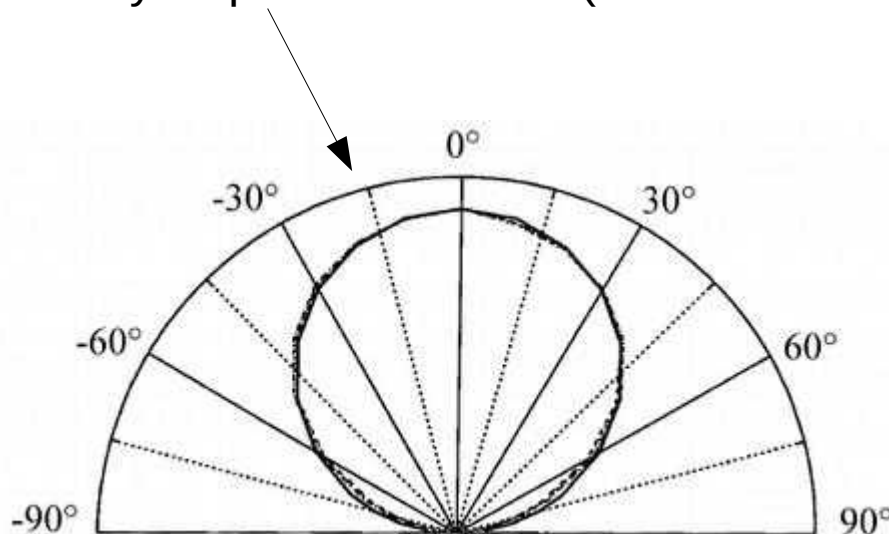
OLED displej s aktivní maticí – pod OLED vrstvou je vrstva transistorů na bázi tenkých vrstev (TFT) které adresují pixely

- ← tranzistory vyžadují menší příkon na generování potřebného napětí a proudu na OLED pixelech
- důležité pro velkoplošné displeje k redukci spotřeby

OLED displeje

Výhody (AM)OLED displejů:

- Nižší spotřeba energie než LCD (AMOLED nepotřebují podsvit)
- Tenčí displej
- Vyšší kontrast (černější černá)
- Vyšší pozorovací úhel (téměř ± 90 deg)

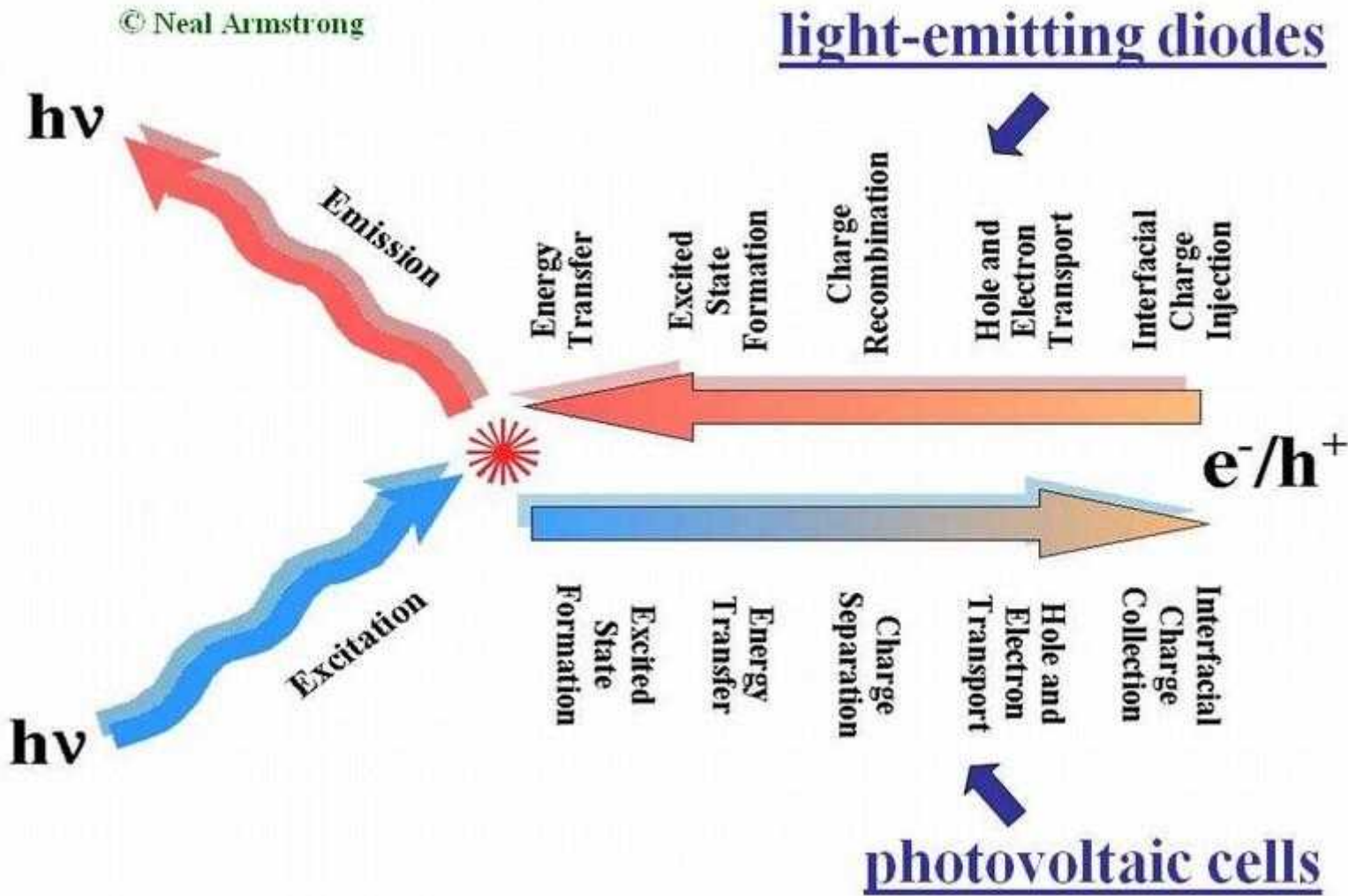


Úhlová závislost svítivosti OLED
srovnána s ideálním difuzním
zdrojem (Lambertů kosinový zákon)
- perfektní shoda

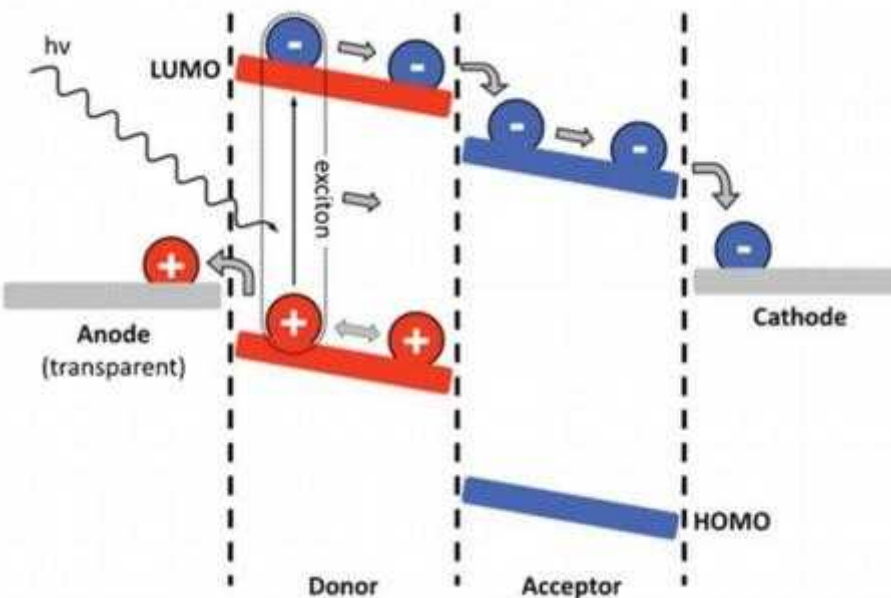
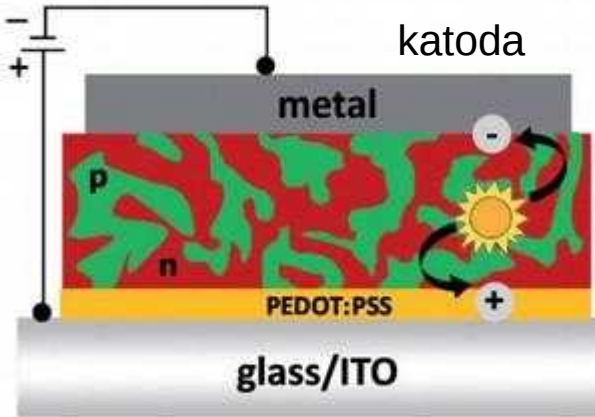
Aplikace – OPV (organické fotovoltaické články)

Organická fotovoltaika

© Neal Armstrong



Organický fotovoltaický článek



Energiové schéma

- 1) Sluneční světlo vstupuje přes průhlednou anodu
- 2) Foton generuje exciton – e-h pář
- 3) Separace děr a elektronů na rozhraní p a n polovodiče
- 4) Transport nositelů k příslušným elektrodám
→ napětí na elektrodách

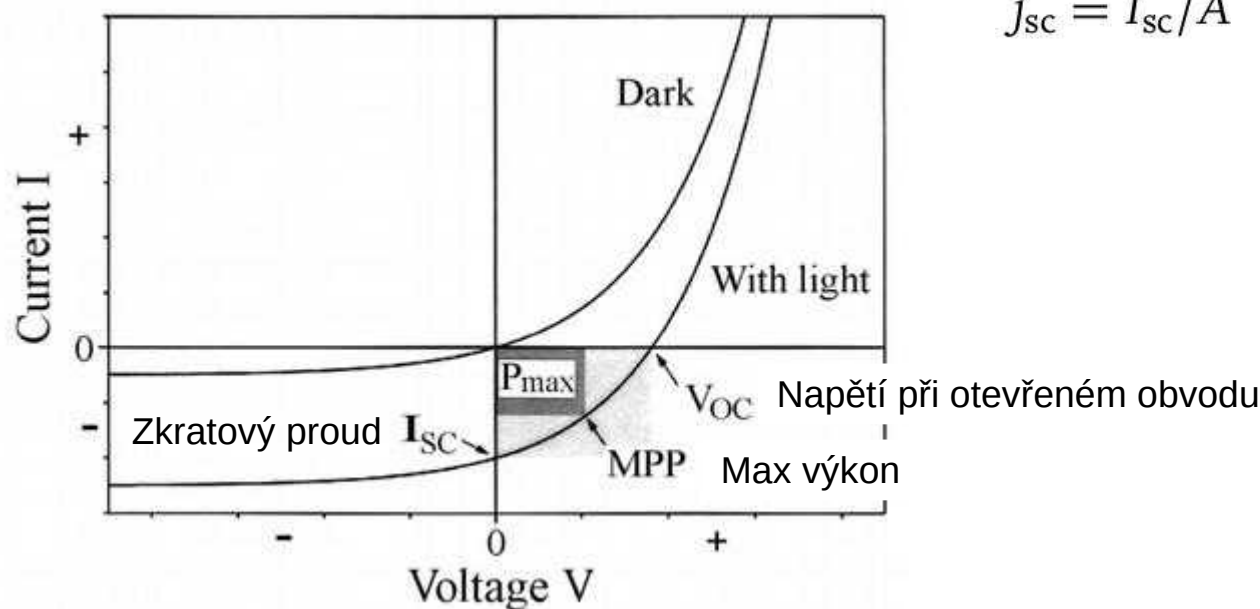
Efektivita OPV

Efektivita = maximální elektrický výkon P_{\max} / příkon světla P_L

$$\eta_p = \frac{P_{\max}}{P_L} = \frac{V_{oc} \cdot j_{sc}}{I_0} \cdot FF$$

$$FF = \frac{P_{\max}}{V_{oc} I_{sc}} = \frac{V_{MPP} I_{MPP}}{V_{oc} I_{sc}}$$

Filling factor (křemíková technologi 0.75 – 0.85,
OPV 0.5 – 0.6)

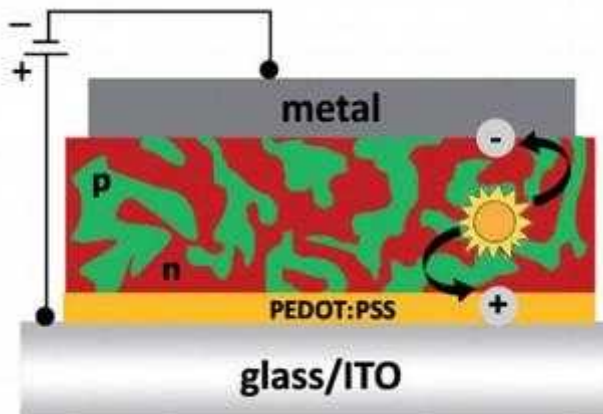


$j_{sc} = I_{sc}/A$ Hustota proudu vztažená na aktivní plochu cely

Optimalizace OPV článků

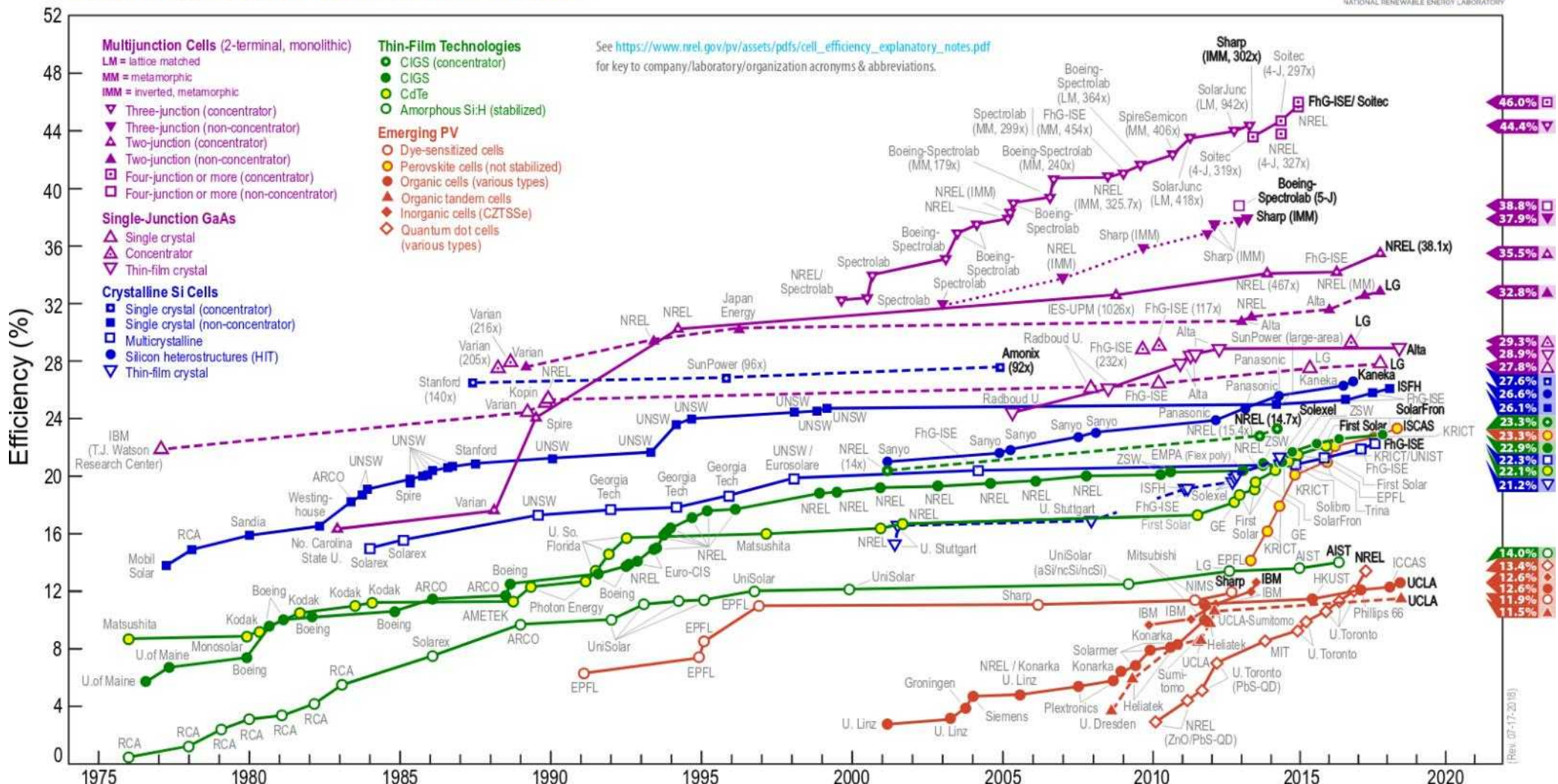
Optmalizace:

- Maximalizace rozhraní p a n typu polovodiče – maximalizace separace náboje
- Maximalizace absorpce v celém spektrálním oboru – volba OP, tandemové cely
- Minimalizace dráhy nositelů náboje, aby nedošlo k zachycení náboje
 - ztenčování vrstev – to jde, ale proti maximalizaci absorpce která vyžaduje tlusté vrstvy → kompromis



Účinnost solárních článků

Best Research-Cell Efficiencies



Komerční anorganické cely (polykrystalický Si) 14–19%

Src.: nrel.org

Literatura

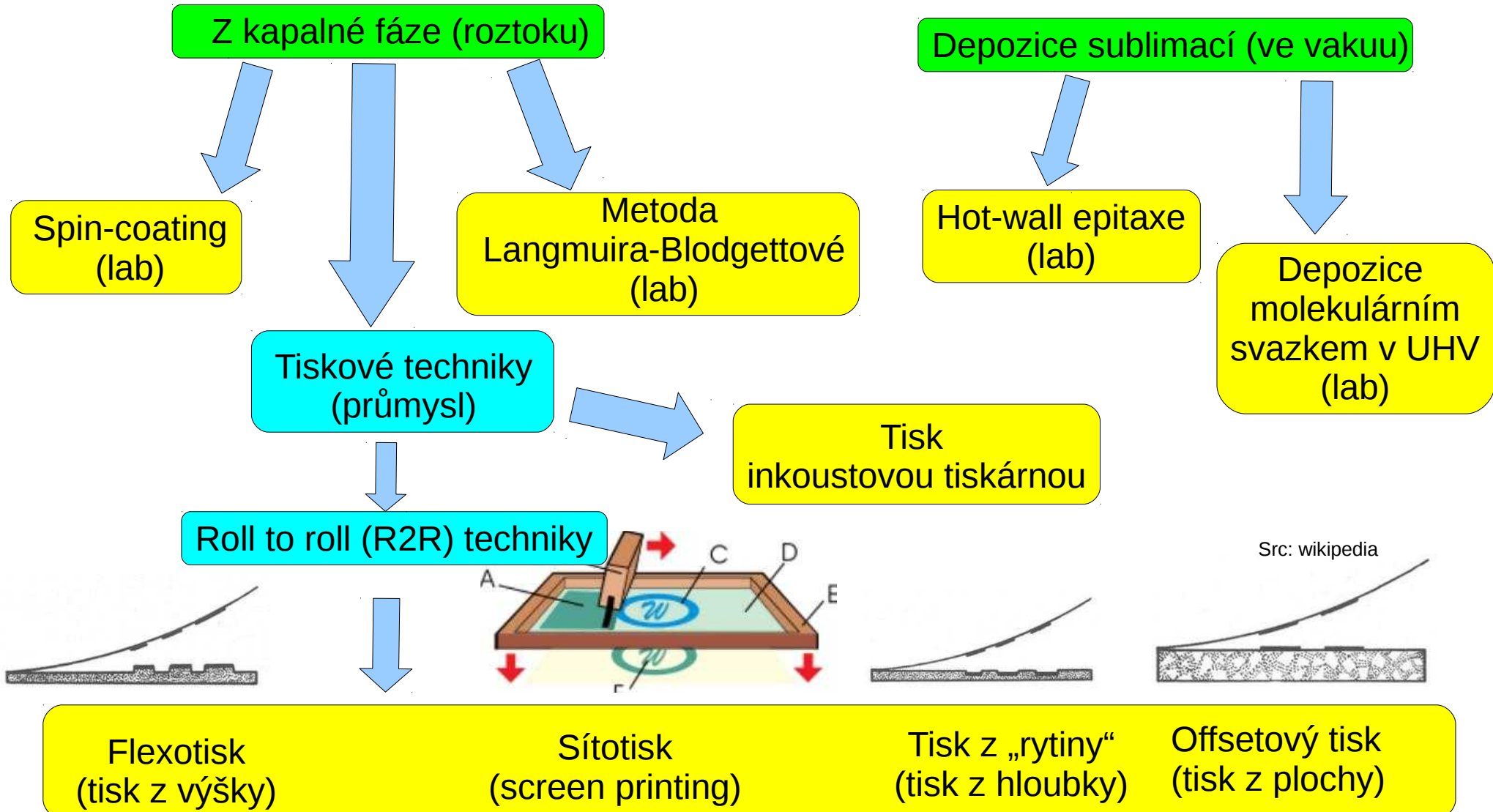
Organic Molecular Solids, M. Schwoerer, H. C. Wolf, 2005 WILEY-VCH
Verlag GmbH & Co. KGaA

<https://www.oled-info.com/>

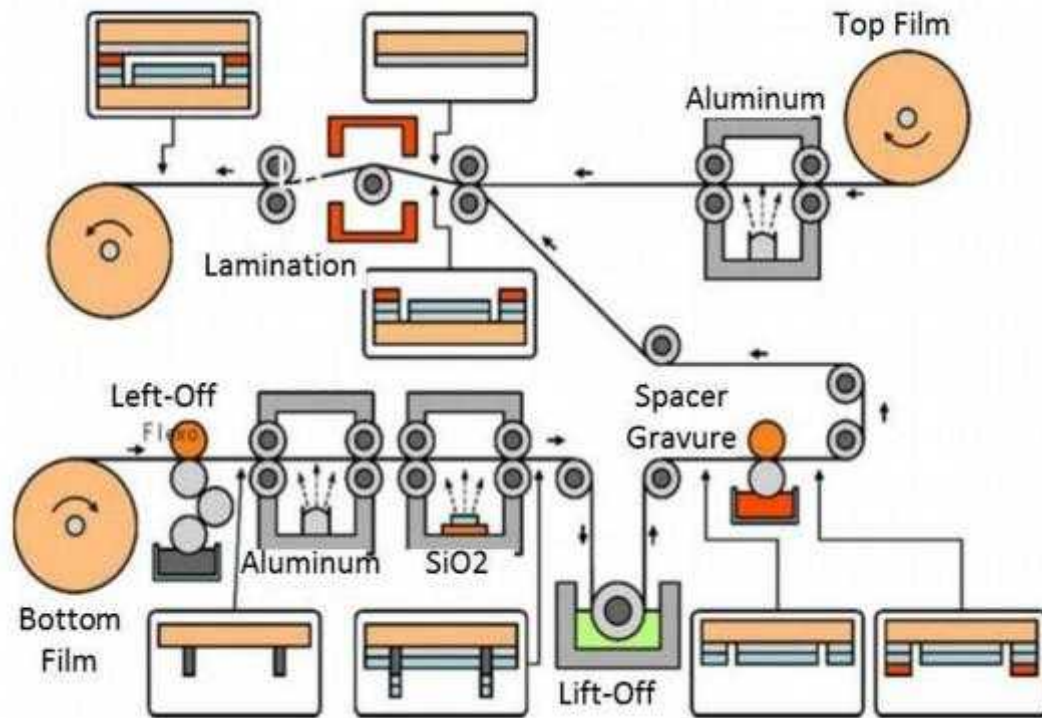
www.howstuffworks.com

Metody růstu

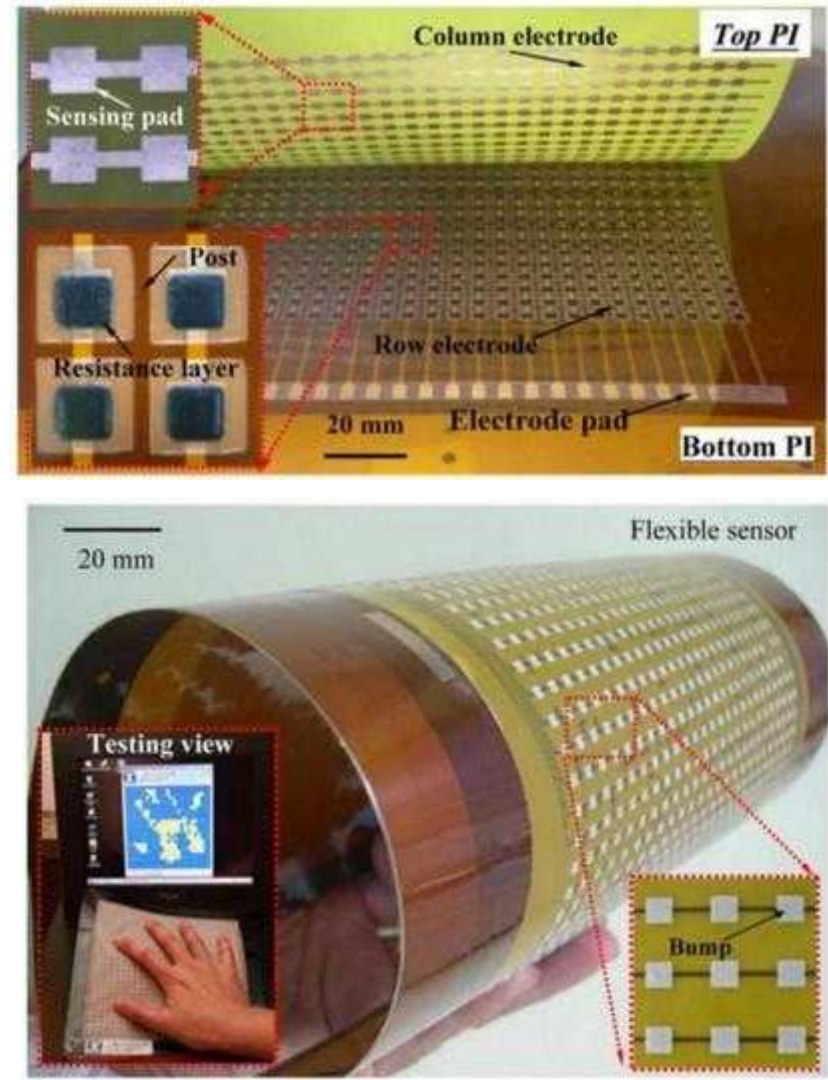
Metody nanášení tenkých vrstev funkčních molekul



Roll to roll technika



Typický R2R systém s různými depozičními technikami a fázemi vývoje struktury

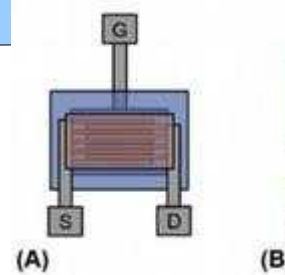
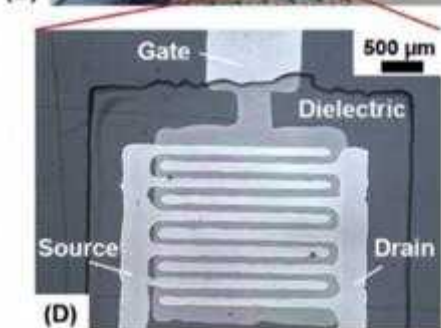
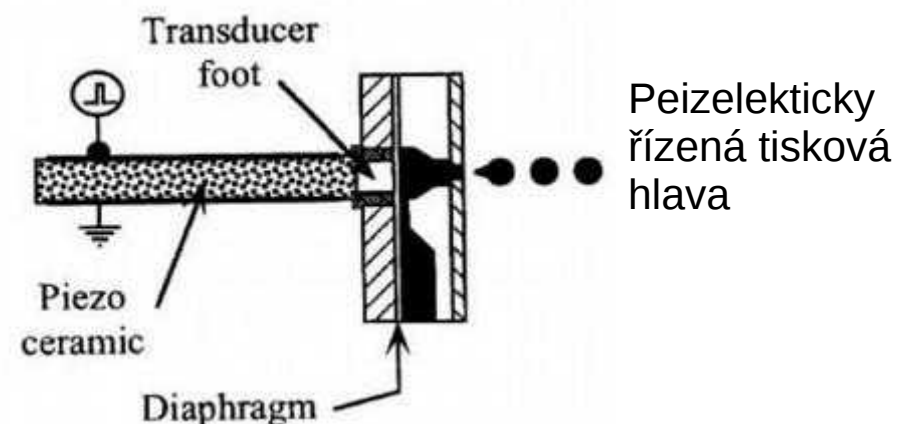
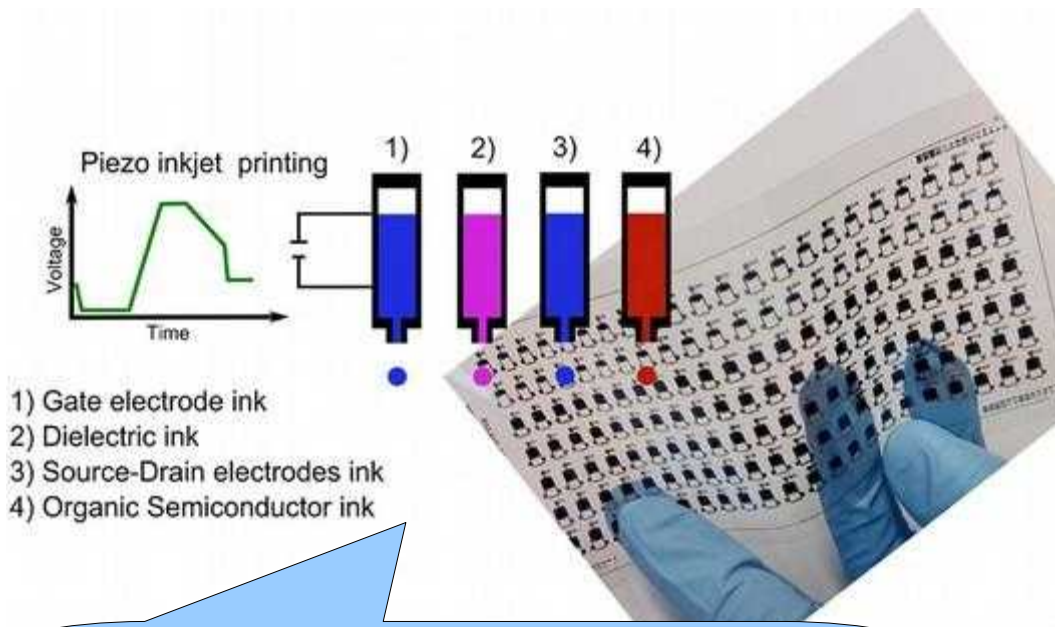


Src: IEEE SENSORS JOURNAL, VOL. 15, NO. 6, JUNE 2015

Pole tlakových senzorů vytvořené sítotiskem

„Inkoustová“ tiskárna

Tisk inkoustovou tiskárnou (inkjet printing)



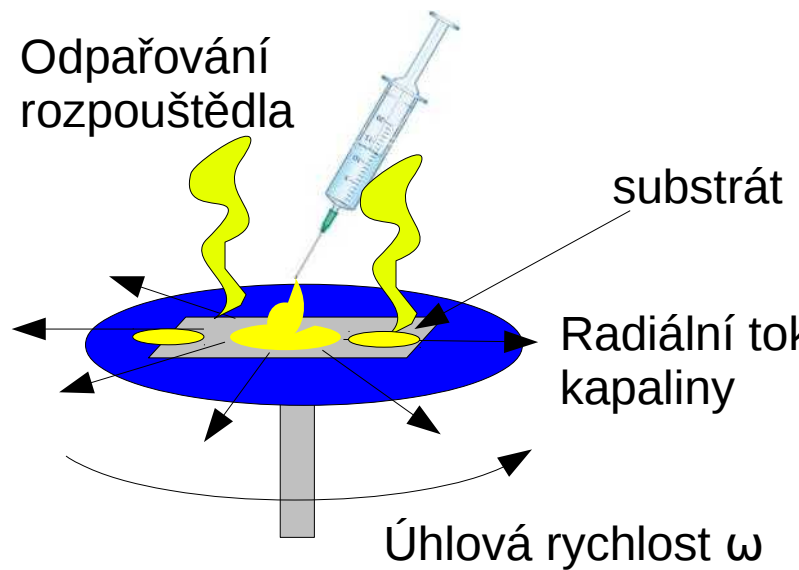
Tištěné org. unipol. tranzistory

Src: Organic Electronics 30 (2016) 237

Spin-coating

Injektáž kapky roztoku

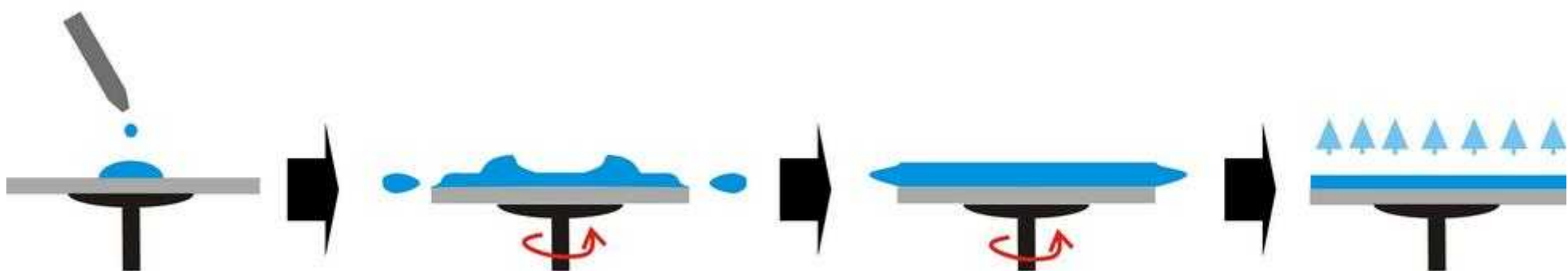
Odpařování
rozpuštědla



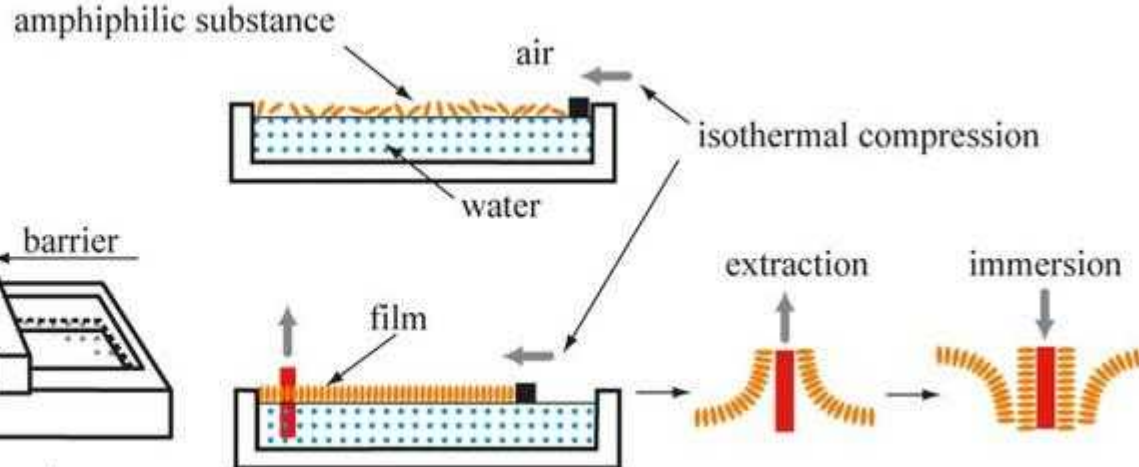
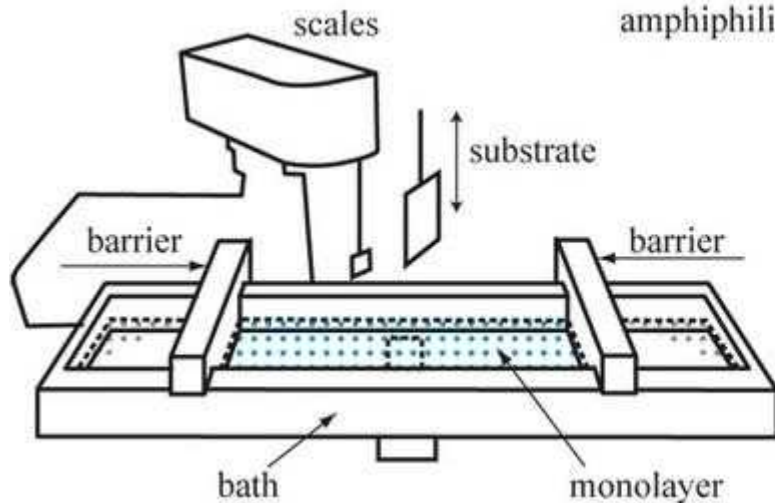
- Molekuly rozpuštěny v rozpouštědle
- roztok nanesen na rotující substrát
- tenká vrstva molekul je vytvořena po odpaření substrátu

Tloušťka a kvalita substrátu určena :

- rozpouštědle (teplotou varu, saturační koncentrací)
- rychlostí rotace
- viskozitou roztoku

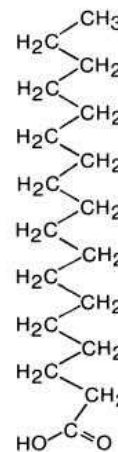
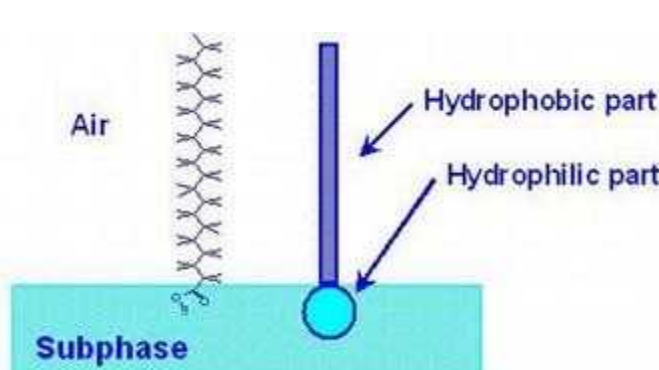


Metoda Langmuira-Blodgettové

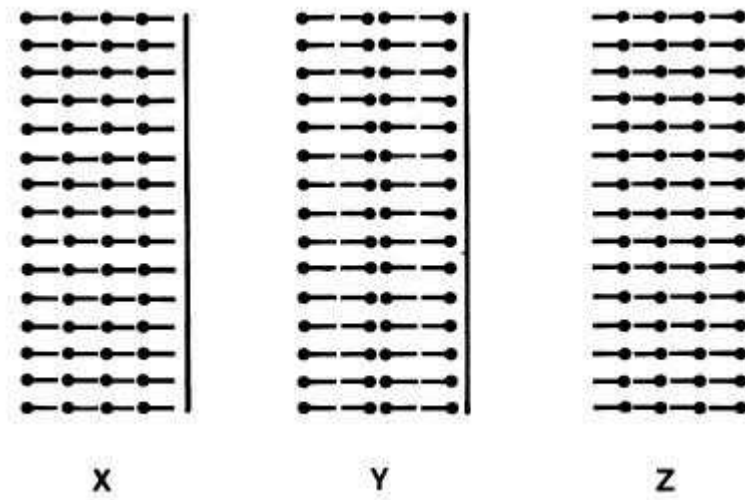
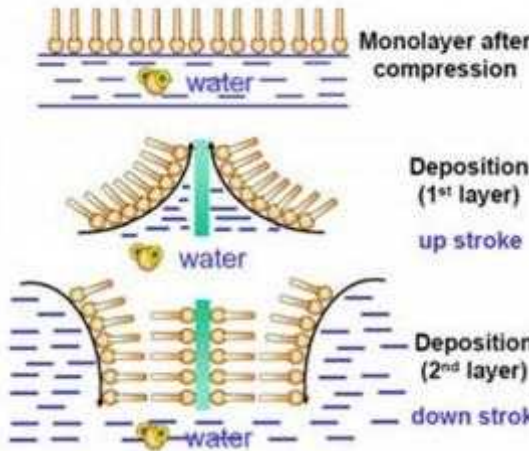


- 1) Amfifilní **molekuly rozpuštěny** v rozpouštědle (typicky chloroform)
- 2) **Roztok rozprostřen na vodní hladině** v Langmuirově vaničce
- 3) Odpaření rozpouštědla → **monovrstva molekul**
- 3) **Komprese bariér** → dosažení požadovaného **povrchového napětí Π**
- 4) **Substrát** (např. Si, křemenné sklo) visící na zanořovacím držáku je (opakovaně) zanořován a vynořován do/z vody → **formování LB mono/multivrstvy**

Metoda Langmuira-Blodgettové



Metoda je vhodná především pro amfifilní molekuly (např. mastné kyseliny, fosfolipidy)

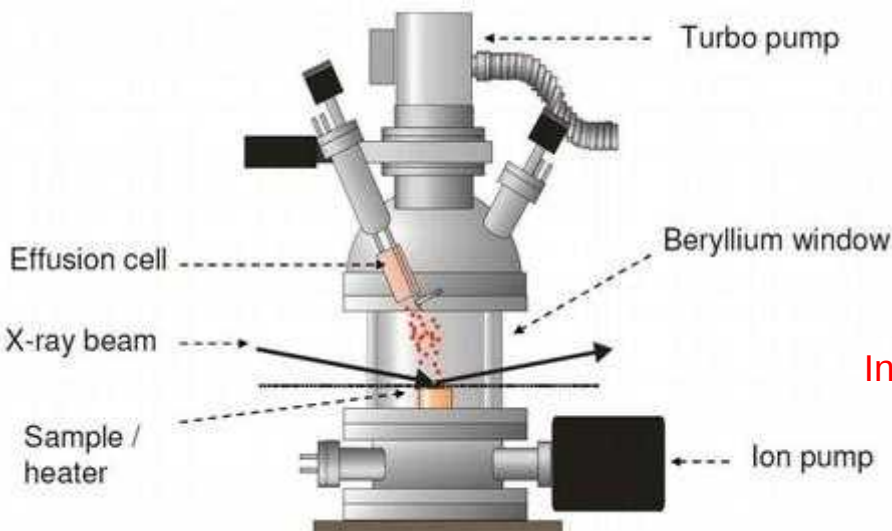


Dobrá kontrola tloušťky vrstvy –
na úrovni monovrstev

Typy depozice

Depozice molekulárním svazkem

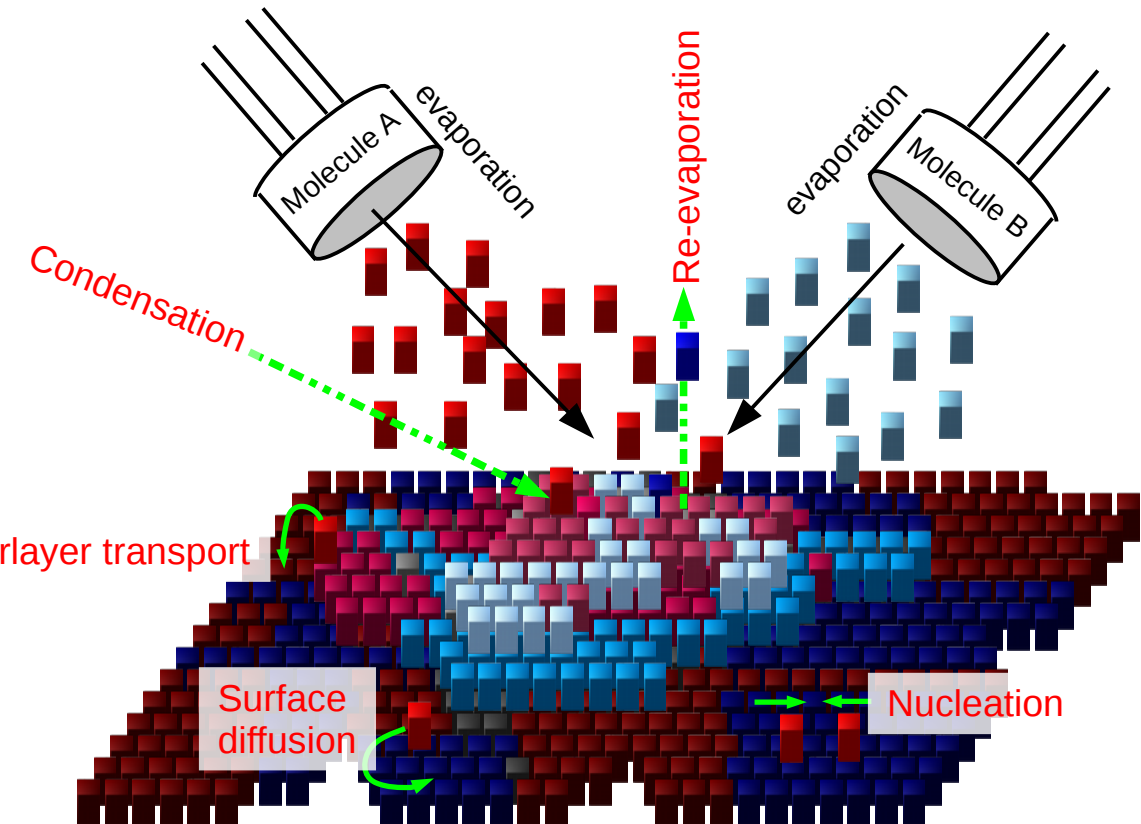
Přenosná komora pro OMBD



K.A. Ritley et al, Rev. Sci. Instr. **72**, 1453 (2001)
S.R. Forrest, Chem. Rev. **97**, 1793 (1997)

- Sublimace molekul z Knudsenových cel v UHV
- Molekuly adsorbuji na substrát a tvoří tenkou vrstvu
- Možnost míšení molekul koevaporací

Koevaporace - OMBD

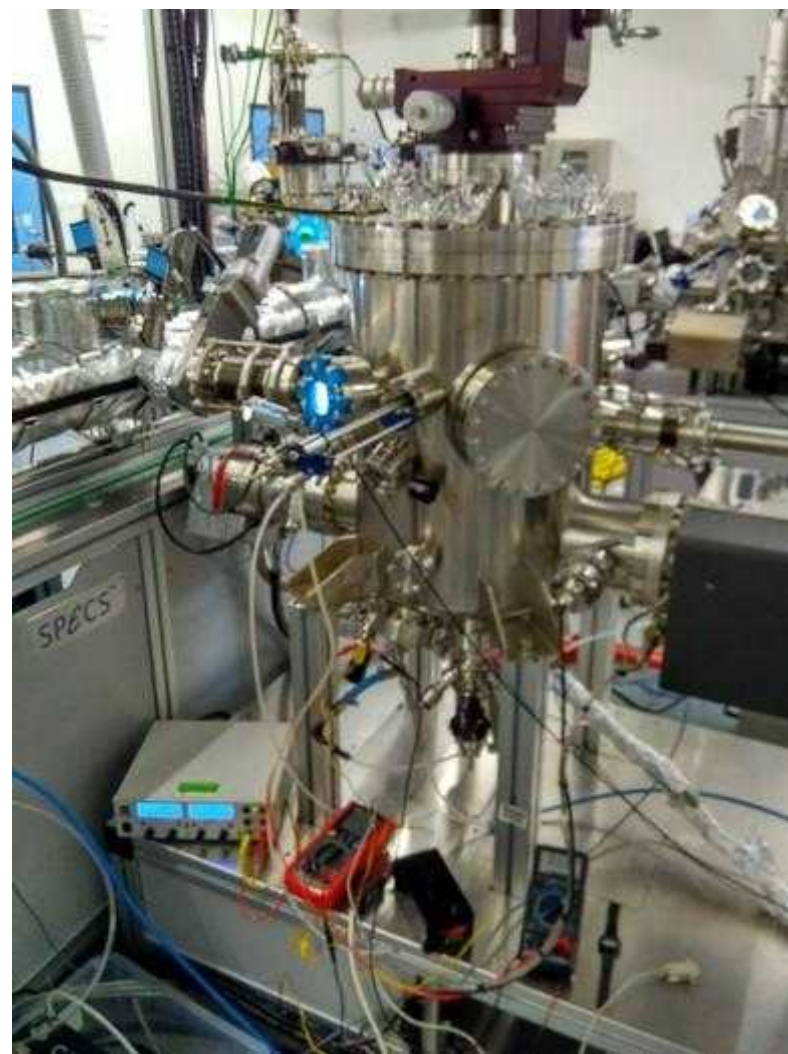
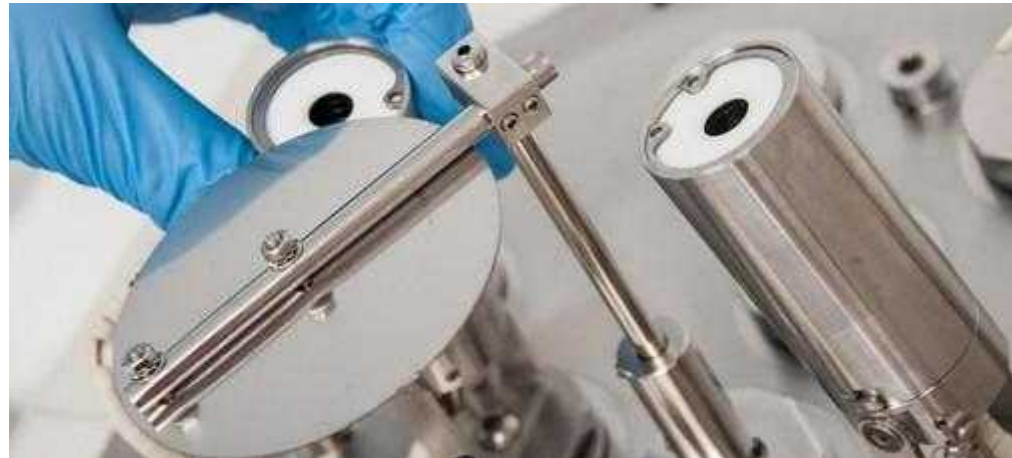


Knudsnova cela

Depozice molekulárním svazkem



Knudsnova cela



Depoziční komora v CF
CEITEC Nano

Charakterizace tenkých vrstev funkčních molekul

Maloúhlový rozptyl při malém úhlu dopadu

